

模型粗面開水路流の舌しれについて

名古屋工業大学 正員 ○富永晃宏
群馬大学大学院 学生員 根岸邦明

1. まえがき 粗面流れの抵抗則に関しては様々な粗度要素に対して実験的研究が行われているが、粗面上の乱れの構造に関してはまだ不明な点が多い。また、基本的な点でも粗面乱流を特徴付けるパラメータ、仮想底面の位置、壁面粗度の影響領域など多くの問題点が残されている。桟型粗面流れについては、その粗度間隔と粗度高さの比に応じて孤立粗度流、後流干渉流、疑似滑面といった区別^{1), 2)}、あるいはdタイプ、kタイプといった分類がなされている^{3), 4)}。本研究は、前報⁵⁾の円柱桟粗度に引き続き正方形断面の桟粗度を用い、桟間隔の系統的变化させ、粗度の流れ全体の乱流構造に及ぼす効果について検討したものである。

2. 実験方法 実験は、長さ12.5m、幅40cmの矩形断面開水路の水路床に、図1に示すように一辺の長さk=5mmの正方形桟粗度を間隔Lで、相対桟間隔L/kを16、8、4、2と変化させて行った。また相対水深h/k、Reynolds数(Re=U_mh/ν)、Froude数(Fr=U_m/√gh)は前報と同じくh/k=10、Re=1.5×10⁴程度、Fr=0.3程度に設定した。計測は上流から7.5mの1粗度区間で、ファイバ・レーザー・ドップラー流速計を用いて行った。

3. 実験結果及び考察

(1) 相対桟間隔の乱れに及ぼす影響 粗度間平均されたレイノルズ応力及び平均流速の鉛直分布の相対桟間隔L/kによる変化を図2、3に示す。値はそれぞれ平均流速U_m及び最大流速U_{max}で無次元化されている。レイノルズ応力はいずれもほぼ直線分布し、L/k=8のときに最も大きな値を示し、以下L/k=16、4、2の順で小さくなっている。このことから粗面の抵抗係数はこの順で変化することがわかり、これは円柱桟粗度の場合と一致する。一方平均流速はL/k=4のときに最も速度欠損が大きく、L/k=16、8がほぼ同じでL/k=2のときに速度欠損が最も小さい。したがって乱れと平均流速では粗度間隔の及ぼす影響にズレがみられることがわかる。

(2) 摩擦速度の評価と乱れ強度の普遍表示 粗度間平均されたレイノルズ応力分布が直線分布することが図2より確認されたので、外層のレイノルズ応力勾配を用いて次のように平均の摩擦速度が得られる。

$$U_* = gh' I = (\partial [-\bar{u}v]/\partial y) \cdot h' \quad (1)$$

ただし、h'は幾何的底面（粗度要素断面積を粗度間隔で除した高さだけかさ上げした底面）からの水深である。図4、5は各粗度間隔における粗度間の平均のレイノルズ応力と乱れ強度の分布をまとめ

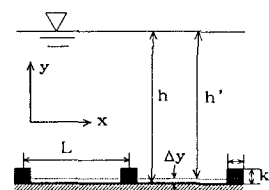


図1 粗度要素と座標

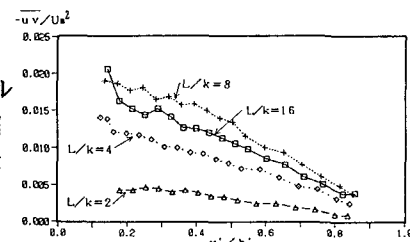


図2 レイノルズ応力へのL/kの影響

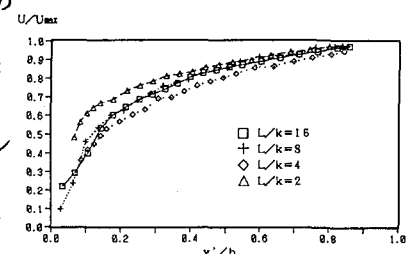


図3 流速分布へのL/kの影響

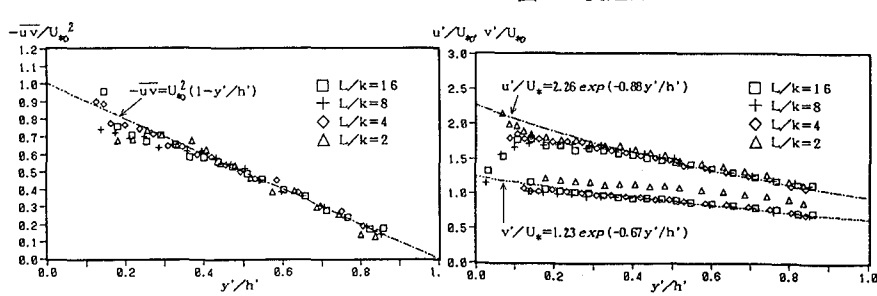


図4 レイノルズ応力分布特性

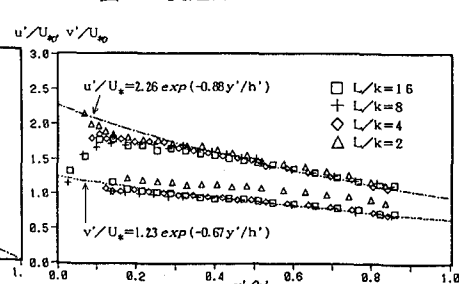


図5 乱れ強度の普遍分布特性

たものである。レイノルズ応力はすべてのケースで、 $y/h > 0.3$ でほぼ直線分布とみなされ、これは前報の円柱棟粗度の場合よりも粗度の局所的影響領域が小さくなっているといえる。 $y/h < 0.3$ では直線分布から若干減少し粗度近傍で急増する傾向は弱いながらも認められる。乱れ強度 u' も $y/h > 0.3$ で滑面の普遍分布式⁶⁾によく一致しており、乱れ強度分布の普遍性が保たれていることがわかる。 $y/h < 0.3$ では普遍分布より若干減少する。さらに粗度高さ付近から下になるところで $L/k \geq 4$ では急激に減少する。一方、 v' は $L/k \geq 4$ では全体に普遍分布式に一致し、粗度近傍でも粗度の局所的影響が認められない。ただし、 $L/k = 2$ の場合だけ全体に大きな値となった。この傾向は、これほど顕著ではないが円柱棟粗度においても認められた。

(3)主流速の対数則分布特性 粗度間平均値による対数則分布を図 6 に示す。 $L/k \leq 4$ では原点補正を行っており、全体として対数則によく一致しカルマン定数に変化がないことが確認されるが、外層での wake 現象は円柱棟粗度ほど顕著でない。 $L/k \geq 8$ では幾何的原点補正のみを行ったが、外層の分布が若干下にずれるような傾向を示し、粗度間隔によって粗度の外層に及ぼす影響が異なることが示唆される。図 7 に原点補正值及び先にレイノルズ応力分布から得られた摩擦損失係数 $f = 8(U_* / U_m)^2$ を、円柱棟粗度の場合とともに示す。原点補正值は両者でほぼ等しいが、摩擦損失係数は角柱棟粗度の方が若干小さくなつた。

(4)大規模渦構造について 図 8 は $L/k = 16$ の代表的位置におけるレイノルズ応力の鉛直分布を示したものであるが、分布はかなり脈動しており、単なる計測誤差とは考えにくい。またこの脈動は円柱粗度の場合よりも大きいようである。このレイノルズ応力分布のピークの位置を連ねてプロットしたものが図 9 である。これらの線は粗度近傍から水平に流下し、中間点付近から上昇しているようであり、粗度によって発生した大規模渦の通過軌跡を示すものと考えられ、これがある程度固定された軌跡をたどるものと推測される。

4. あとがき 角柱棟粗度上の開水路流れの乱流構造を検討し、円柱棟粗度の場合とほぼ同じく、乱れ強度分布の普遍性が確認されたが、両者で若干の相違も認められた。今後は、大規模渦構造に着目して、乱れの発生機構及び粗度後流と平均流の相互作用について検討したい。

(参考文献) 1) Morris, H.M., Proc of ASCE, vol. 85, HY7, 1959,

2) 足立; 京大防災研究所年報, 第4号, 1961.

3) Perry, A.E., Shofield, W.H. and Joubert, P.N.; JFM, vol. 37-2, 1969.,

4) Antonia, R.A. and Luxton, R.E.; JFM, vol. 48-4, 1971.,

5) 根岸、富永、狩野; 土木学会第45回年譲、1990

6) Nezu, I. and Rodi, W.; J. Hydraulic Eng., ASCE, vol. 112-5, 1986. 図 9 レイノルズ応力のピークの軌跡

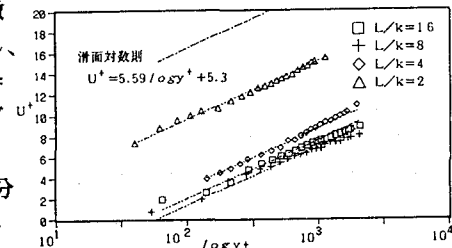


図 6 対数則分布特性

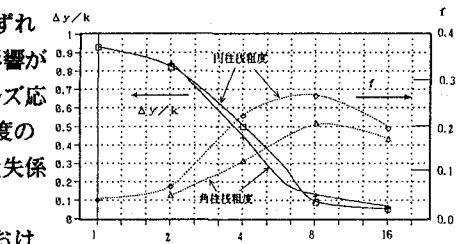


図 7 原点補正距離と摩擦損失係数

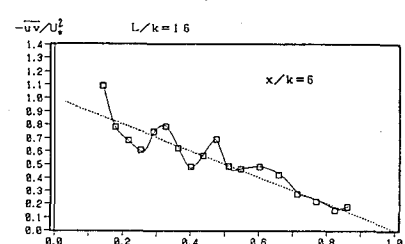
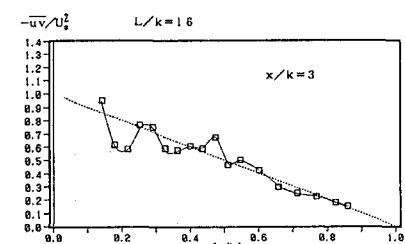
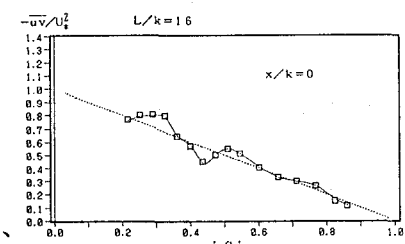


図 8 局所的レイノルズ応力分布